

Математическая модель регенеративного теплоутилизатора

Соболь Е.В. john-stud-spb@mail.ru

Санкт-Петербургский государственный университет
низкотемпературных и пищевых технологий,
факультет КТ и К, кафедра кондиционирования воздуха

В данной статье описана математическая модель регенеративного теплоутилизатора: получены зависимости для нахождения коэффициента теплоотдачи, дифференциальные уравнения для расчета процессов тепломассопереноса. Представлено описание программного модуля для решения уравнений и получения коэффициентов регенерации и аккумуляции.

Ключевые слова: коэффициент теплоотдачи, процессы тепломассопереноса, программный модуль.

В последнее время рост стоимости энергетических ресурсов и повышение требований к качеству жизни существенно обострили проблему сокращения затрат на отопление и вентиляцию бытовых и производственных помещений. Одним из решений данной задачи является использование локальных систем вентиляции с утилизацией теплоты удаляемого из помещения воздуха. Важная роль в таких системах отведена регенеративному теплоутилизатору.

На рис. 1 изображен регенеративный теплоутилизатор с указанием направления движения теплоносителя. Движение воздуха попеременно осуществляется в обоих направлениях. Во всех каналах регенератора происходят одинаковые процессы теплообмена, поэтому можно рассматривать единичный канал (рис. 2). Процесс теплообмена в канале насадки является установившимся. Температура поверхности канала изменяется по длине насадки и по времени.

Примем следующие допущения:

- регенератор теплоизолирован, поэтому потери тепла из насадки в окружающую среду отсутствуют;
- теплообмен в насадке происходит без конденсации паров влажного воздуха;
- теплофизические свойства регенератора и воздуха постоянны;
- время прохождения воздуха через регенератор намного меньше, чем время цикла.

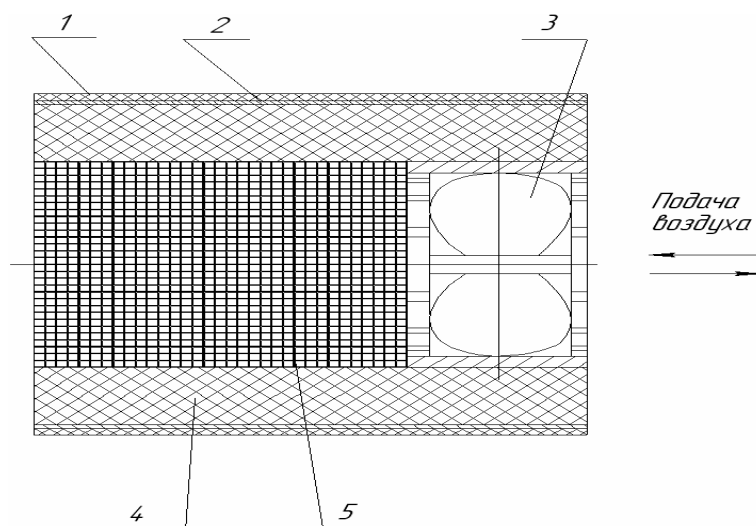


Рис. 1. Конструкция стационарного регенеративного теплоутилизатора (1 — корпус регенератора; 2 — изоляционная фольга; 3 — вентилятор; 4 — теплоизоляция; 5 — регенеративная насадка).

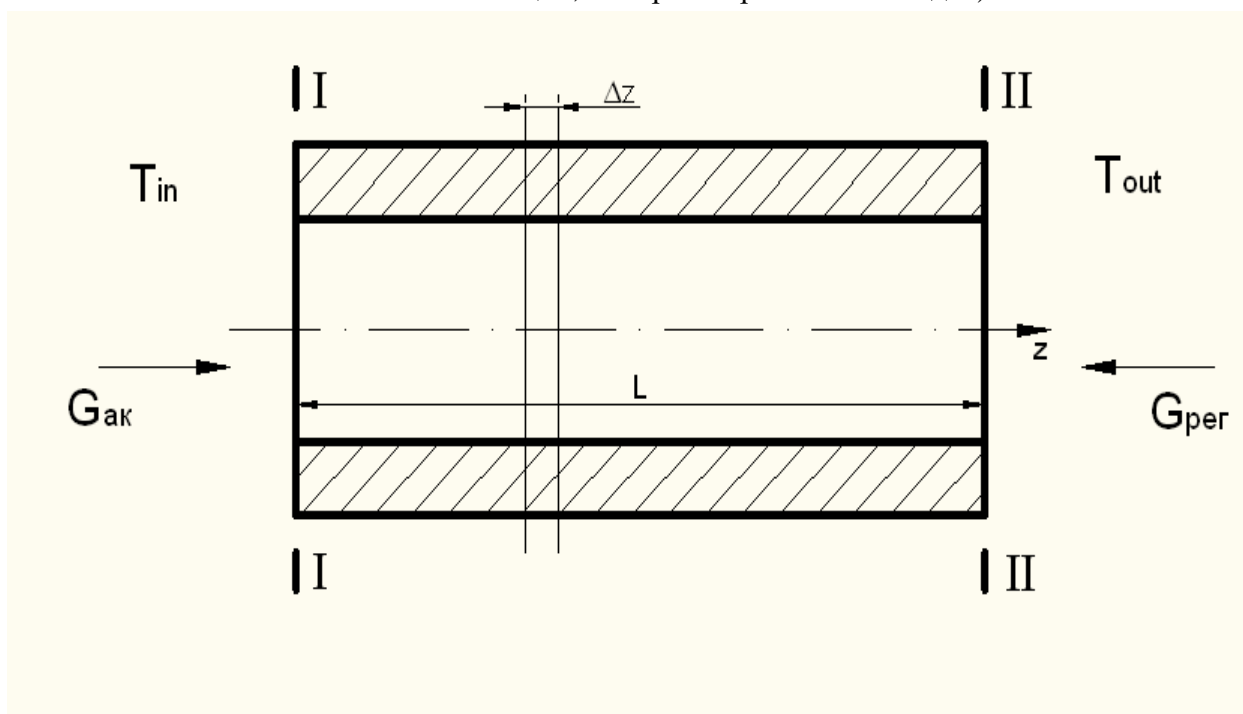


Рис. 2. Сечение канала насадки регенеративного теплоутилизатора.

На рис. 2 изображен единственный канал насадки. Здесь: I и II — торцевые сечения насадки; $G_{ак}$ — расход воздуха на этапе аккумуляции (передача теплоты удаляемого воздуха насадке); $G_{рег}$ — расход воздуха на этапе регенерации (передача теплоты от насадки к приточному воздуху); T_{in} — температура большего потенциала; T_{out} — температура меньшего потенциала; L — длина насадки. Расход воздуха через единственный канал насадки определяется как общий расход воздуха, отнесенный к общему количеству каналов насадки. Толщина стенки канала равна половине стенки между смежными каналами.

На рис. 3 приведены зависимости изменения температуры поступающего и удаляемого воздуха в торцевых сечениях канала I и II от времени [2]. Здесь $\tau_{ак}$ — время процесса аккумуляции теплоты насадкой; $\tau_{рег}$ — время процесса отдачи теплоты от насадки воздуху.

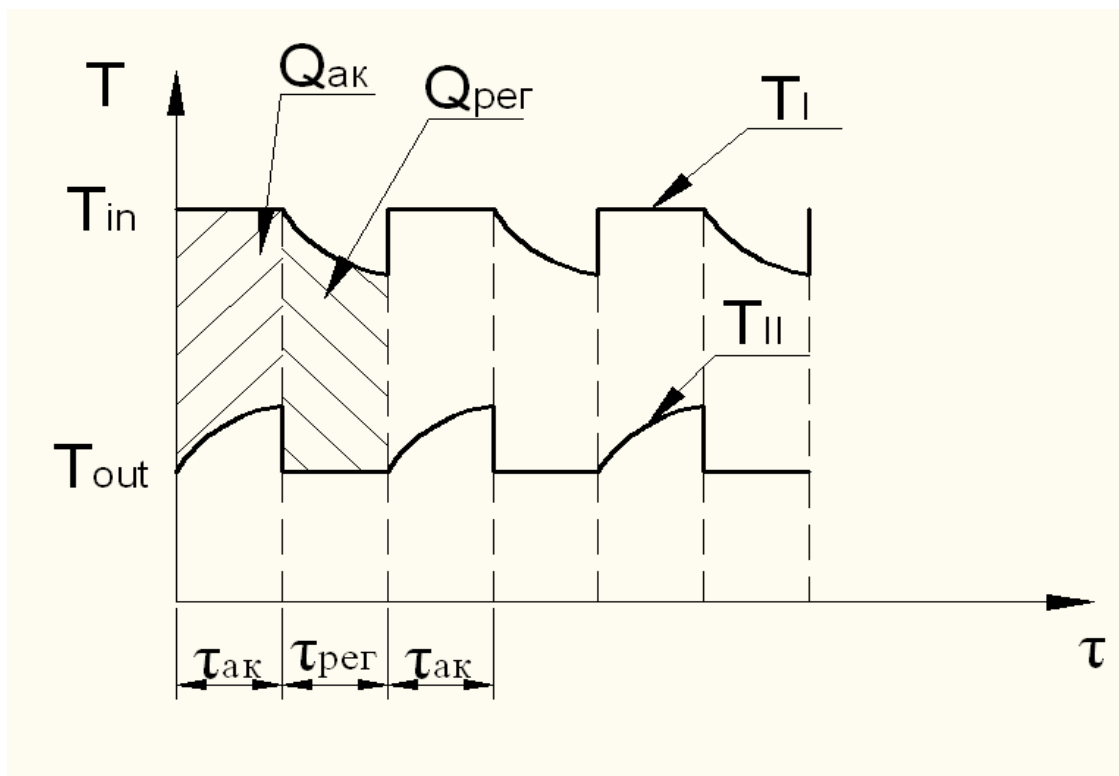


Рис. 3. Изменение температуры поступающего и удаляемого воздуха в торцевых сечениях канала в зависимости от времени.

Рассмотрим изменение температуры воздуха в торцевом сечении канала I за один период цикла. За период цикла будем принимать: $\tau_{ц} = \tau_{ак} + \tau_{рег}$. За время первого полупериода $\tau_{ак}$ температура в канале сечения I постоянна и равна внутренней температуре помещения. Через полупериод происходит изменение направления движения воздуха и в течение времени $\tau_{рег}$ температура в сечении изменяется по кривой, представленной на графике. После этого температура воздуха скачком изменяется на первоначальное состояние. Далее циклы повторяются.

Подобным образом происходит изменение температуры воздуха в торцевом сечении канала II.

Площади заштрихованных участков диаграммы пропорциональны теплоте аккумулированной насадкой — $Q_{ак}$ и регенерированной теплоте — $Q_{рег}$.

$$Q_{ак} = Q_{рег}; \quad (1)$$

$$Q_{\text{пер}} = \int_0^{\tau_{\text{пер}}} T_I d\tau - T_{\text{out}} \tau_{\text{пер}} ; \quad (2)$$

$$Q_{\text{ак}} = T_{\text{in}} \tau_{\text{ак}} - \int_0^{\tau_{\text{ак}}} T_{II} d\tau . \quad (3)$$

Рассмотрим выделенный элемент насадки длиной Δz (Рис. 4). Для участка канала Δz составим уравнение теплового баланса для воздуха за время Δt .

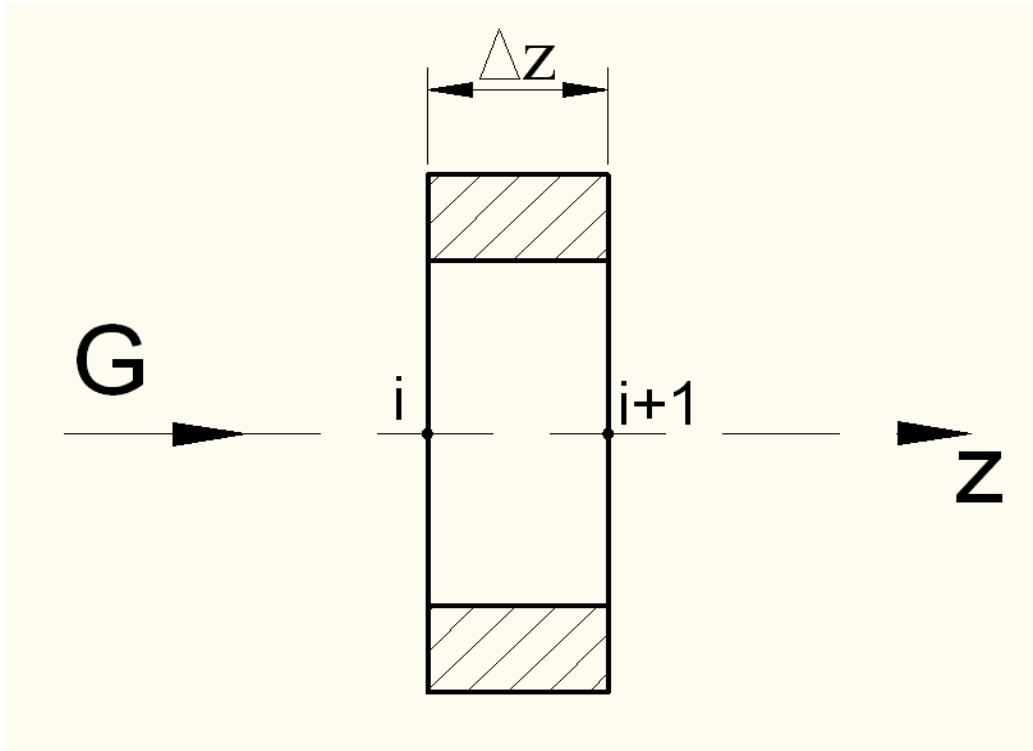


Рис. 4. Выделенный участок канала длиной Δz .

Количество теплоты в выделенном элементарном объеме в начальный (предыдущий) момент времени:

$$Q_1 = \frac{1}{2} \left(T_{B(i)}^{(k-1)} + T_{B(i+1)}^{(k-1)} \right) c_B \rho_B s \Delta z . \quad (4)$$

Количество теплоты в элементарном объеме через время Δt :

$$Q_2 = \frac{1}{2} \left(T_{B(i)}^{(k)} + T_{B(i+1)}^{(k)} \right) c_B \rho_B s \Delta z . \quad (5)$$

Теплота воздушного потока, поступившая в контрольный объем:

$$Q_3 = G T_{B(i)}^{(k)} c_B \Delta \tau . \quad (6)$$

Теплота воздушного потока, вышедшего из контрольного объема:

$$Q_4 = GT_{B(i+1)}^{(k)} c_B \Delta \tau \quad (7)$$

Количество теплоты участвующее в теплообмене с насадкой:

$$Q_5 = p\alpha\Delta z\Delta \tau \left(\frac{T_{B(i)}^{(k)} + T_{B(i+1)}^{(k)}}{2} - \frac{T_{H(i)}^{(k)} + T_{H(i+1)}^{(k)}}{2} \right) \quad (8)$$

Здесь: T_B — температура воздуха; T_H — температура насадки; s — площадь проходного сечения канала; ρ_B — плотность воздуха; p — периметр проходного сечения канала; α — коэффициент теплоотдачи.

Примем, что положительными являются процессы, приводящие к уменьшению теплосодержания контрольного объема. Тогда уравнение теплового баланса имеет вид

$$\begin{aligned} Q_4 - Q_3 + Q_5 &= Q_1 - Q_2; \\ \left(T_{B(i+1)}^{(k)} - T_{B(i)}^{(k)} \right) Gc_B \Delta \tau + \left(T_{B(i+1/2)}^{(k)} - T_{H(i+1/2)}^{(k)} \right) p\alpha\Delta z\Delta \tau &= \\ = \left(T_{B(i+1/2)}^{(k)} - T_{B(i+1/2)}^{(k-1)} \right) c_B \rho_B s \Delta z \end{aligned} \quad (9)$$

Пусть $\Delta z \rightarrow 0$ и $\Delta \tau \rightarrow 0$, тогда в любом сечении воздушного канала процесс тепломассопереноса описывается дифференциальным уравнением

$$Gc_B \frac{\partial T_B}{\partial z} + c_B \rho_B s \frac{\partial T_B}{\partial \tau} + p\alpha(T_B - T_H) = 0 \quad (10)$$

Для решения дифференциального уравнения (10) необходимо задать краевые условия.

В качестве граничного условия зададим температуру воздуха на входе в канал

$$T_{B(z=0)} = \begin{cases} T_{in} & \text{if } G = G_{ак} \\ T_{out} & \text{if } G = G_{рег} \end{cases} \quad (11)$$

Так как при номинальном режиме работы регенератора тепловые процессы имеют циклический установившийся характер и не зависят от исходного теплового состояния, начальные условия могут задаваться в произвольной форме.

Для определенности примем, что при $\tau = 0$ температура воздуха в канале линейно изменяется от T_{in} до T_{out} , тогда начальное условие имеет вид

$$T_{B(\tau=0)} = T_{in} - \frac{(T_{in} - T_{out})z}{L} \quad (12)$$

Составим уравнение тепломассопереноса для элементарного объема насадки.

Количество теплоты в элементарном объеме насадки в начальный (предыдущий) момент времени

$$Q_6 = \frac{1}{2} \left(T_{H(i)}^{(k-1)} + T_{H(i+1)}^{(k-1)} \right) c_H \rho_H s_H \Delta z \quad (13)$$

Количество теплоты в элементарном объеме насадки через время $\Delta \tau$

$$Q_7 = \frac{1}{2} \left(T_{H(i)}^{(k)} + T_{H(i+1)}^{(k)} \right) c_H \rho_H s_H \Delta z \quad (14)$$

Теплота, поступившая в элементарный объем насадки вследствие теплопроводности

$$Q_8 = \lambda_H s_H \Delta \tau \frac{T_{H(i)}^{(k)} + T_{H(i-1)}^{(k)}}{\Delta z} \quad (15)$$

Теплота, вышедшая из элементарного объема насадки вследствие теплопроводности

$$Q_9 = \lambda_H s_H \Delta \tau \frac{T_{H(i+1)}^{(k)} + T_{H(i)}^{(k)}}{\Delta z} \quad (16)$$

Теплота, участвующая в теплообмене с воздухом

$$Q_{10} = -Q_5 \quad (17)$$

Здесь: c_H — теплоемкость материала насадки; ρ_H — плотность материала насадки; s_H — площадь поперечного сечения насадки; λ_H — теплопроводность материала насадки.

Уравнение теплового баланса для элементарного объема насадки имеет вид

$$\begin{aligned} Q_9 - Q_8 - Q_{10} &= Q_6 - Q_7; \\ \frac{\left(T_{H(i+1)}^{(k)} - 2T_{H(i)}^{(k)} + T_{H(i-1)}^{(k)} \right)}{\Delta z} \lambda_H c_H \Delta \tau + \left(T_{H(i+1/2)}^{(k)} - T_{B(i+1/2)}^{(k)} \right) p \alpha \Delta z \Delta \tau &= \\ &= \left(T_{H(i+1/2)}^{(k)} - T_{H(i+1/2)}^{(k-1)} \right) c_H \rho_H s_H \Delta z \end{aligned} \quad (18)$$

Если $\Delta z \rightarrow 0$ и $\Delta \tau \rightarrow 0$, то уравнение примет вид

$$\lambda_H c_H \frac{\partial^2 T_H}{\partial z^2} + p \alpha (T_H - T_B) + c_H \rho_H s_H \frac{\partial T_H}{\partial \tau} = 0 \quad (19)$$

Для решения дифференциального уравнения (19) необходимо сформулировать краевые условия. В допущениях было принято, что насадка теплоизолирована, поэтому граничные условия можно представить в виде

$$\left(\frac{\partial T_H}{\partial z}\right)_{z=0} = 0; \quad \left(\frac{\partial T_H}{\partial z}\right)_{z=L} = 0 \quad (20)$$

Начальное условие для уравнения (19) аналогично начальному условию для уравнения (10)

$$T_{H(\tau=0)} = T_{in} - \frac{(T_{in} - T_{out})z}{L} \quad (21)$$

Для решения дифференциального уравнения (10) необходимо знать коэффициент теплоотдачи α . Методика расчета коэффициента теплоотдачи была взята из литературного источника [1]

$$\alpha = \frac{Nu \cdot \lambda}{d_s}, \quad (22)$$

где d_s — эквивалентный диаметр канала; λ — коэффициент теплопроводности воздуха; Nu — число Нуссельта.

В качестве определяющего размера используется эквивалентный диаметр

$$d_s = \frac{4f}{\Pi}, \quad (23)$$

где f — площадь поперечного сечения канала; Π — смоченный периметр.

Для определения расчетного уравнения числа Нуссельта необходимо знать режим движения воздуха в канале насадки. Найдем число Рейнольдса по следующей зависимости

$$Re = \frac{\rho v d_s}{\eta}, \quad (24)$$

где ρ — плотность воздуха, $\rho = 1.2 \text{ кг/м}^3$; v — характерная скорость воздуха; η — динамическая вязкость воздуха, $\eta = 1.82 \cdot 10^{-5} \text{ Н} \cdot \text{с/м}^2$.

Для ламинарного режима движения воздуха, когда число Рейнольдса лежит в пределах $Re < 2000$. При таком режиме движения можно выделить вязкостной и вязкостно-гравитационный режимы. Они определяются через число Релея:

$$Ra = Gr \cdot Pr, \quad (25)$$

где Gr — число Грасгофа, Pr — число Прандтля.

Число Прандтля для воздуха

$$Pr = 0.713. \quad (26)$$

Число Грасгофа

$$Gr = \frac{g\beta d_3^3 (t_c - t_0)}{\nu^2}, \quad (27)$$

где g — ускорение свободного падения, $g = 9,81 \text{ м/с}^2$; t_c — температура поверхности теплообмена; t_0 — температура теплоносителя; β — температурный коэффициент объёмного расширения теплоносителя, ν — коэффициент кинематической вязкости.

$$\beta = \frac{1}{273 + t_0}. \quad (28)$$

При условии $Ra < 3 \cdot 10^5$ преобладает вязкостной режим и уравнения для числа Нуссельта имеет вид

$$Nu = 1.55 (Pe \cdot d_{\text{вн}} / l)^{1/3} \varepsilon_l, \quad (29)$$

где Pe — число Пекле, l — длина трубы, ε_l — коэффициент, учитывающий изменение коэффициента теплоотдачи по длине трубы.

$$\varepsilon_l = 1 + 0.01 \left(\frac{Re}{l / d_{\text{вн}}} \right)^{2/3}. \quad (30)$$

При условии $Ra > 8 \cdot 10^5$ преобладает вязкостно-гравитационный режим и уравнение для числа Нуссельта имеет вид

$$Nu = 0,15 Pe^{0,33} Ra^{0,1} \varepsilon_l, \quad (31)$$

где Pe — число Пекле; Ra — число Релея; ε_l — поправочный коэффициент, учитывающий изменение коэффициента теплоотдачи по длине канала.

Число Пекле

$$Pe = \frac{C_p \rho \nu d_3}{\chi}, \quad (32)$$

где C_p — теплоемкость при постоянном давлении, $C_p = 1005 \text{ Дж} / (\text{кг} \cdot \text{К})$; χ — коэффициент теплопроводности воздуха, $\chi = 0,0257 \text{ Вт} / (\text{м} \cdot \text{К})$.

Для турбулентного режима движения теплоносителя, при числе Рейнольдса $Re > 10\,000$ расчетное уравнение имеет вид

$$Nu = 0,021 Re^{0,8} Pr^{0,43} \varepsilon_l, \quad (33)$$

где Pr — число Прандтля.

При переходном движении воздуха $2\,000 < Re < 10\,000$ используют уравнение для турбулентного режима, вводя в них поправочный множитель $\varepsilon_{пер}$, зависящий от значения числа Рейнольдса.

Таким образом, тепловой расчет процессов тепломассопереноса в канале регенеративного теплообменника сводится к совместному решению дифференциальных уравнений (10), (19) с краевыми условиями (11), (12) и (20), (21).

Для решения дифференциальных уравнений был применен метод разностных аналогов. Производные в уравнении (10) заменим на отношение конечных разностей. Для внутренних узлов применим интерполяцию по двум точкам, для крайнего узла применим интерполяцию по трем точкам. Это обеспечит одинаковую погрешность расчета. После подстановки в дифференциальное уравнение (10) получим уравнение для узлов пространственной и временной сеток. Подобным образом получают уравнения для решения дифференциального уравнения (19).

Таким образом, расчет сводится к решению на каждом временном слое системы состоящей из $(2n)$ линейных алгебраических уравнений.

В матричной форме система линейных алгебраических уравнений имеет вид

$$[[A]]\vec{T} = \vec{b} \quad (34)$$

где $[[A]]$ квадратная матрица коэффициентов размером $2n \times 2n$; \vec{T} — вектор-столбец искомых температур размером $2n$; \vec{b} — вектор-столбец коэффициентов вычисляемых по результатам расчета предыдущего временного слоя размером $2n$.

Матрица $[[A]]$ является разреженной, число элементов отличных от нуля в любой ее строке не больше четырех. Полученная система уравнений решалась методом Гаусса с учетом разреженности матрицы. Интегралы, входящие в условие (1) решались по методу трапеций.

Коэффициент аккумуляции теплоты:

$$K_{ак} = T_{in} \tau_{ак} - \int_0^{\tau_{ак}} T_n^k d\tau / (T_{in} - T_{out}) \tau_{ак} \quad (35)$$

Коэффициент регенерации теплоты:

$$K_{рег} = \int_0^{\tau_{рег}} T_n^k d\tau - T_{out} \tau_{рег} / (T_{in} - T_{out}) \tau_{рег} \quad (36)$$

Результатом построения модели была разработка программы в среде Visual Basic (Рис. 5). Для выполнения расчета необходимо задать геометрию насадки,

теплофизические характеристики материала насадки и теплоносителя и параметры работы регенератора. Результатом расчета в программе являются коэффициент теплоотдачи и коэффициенты аккумуляции и регенерации, а также температурные поля по временным слоям. При описанных ранее допущениях коэффициенты регенерации и аккумуляции должны быть равны. Температурные поля по временным слоям показывают характер теплообмена в каждом сечении насадки. Эта программа будет полезна для изучения теплообмена в насадке и дальнейшего совершенствования конструкции регенеративного теплоутилизатора.

Расчет теплообмена в регенеративном теплоутилизаторе

Геометрия канала

Общая площадь поперечного сечения канала м² Периметр проходного сечения м
 Площадь проходного сечения канала м² Длина канала м

Теплофизические характеристики материала насадки

Теплоемкость Дж/(кг К) Теплопроводность Вт/(м К) Плотность кг/м³

Теплофизические характеристики теплоносителя

Теплоемкость Дж/(кг К) Плотность кг/м³

Параметры работы регенератора

Скорость теплоносителя м/с Время цикла с
 Температура теплоносителя внутренняя С Температура теплоносителя наружная С

Параметры разностно сетки

Количество временных слоев в цикле Количество узлов по оси канала Предварительное количество циклов

КОЭФФИЦИЕНТ ТЕПЛООТДАЧИ Вт/(м² К)

Кэфф. аккумуляции тепла

Кэфф. регенерации тепла

Рис. 5. Интерфейс программы расчета теплообмена в регенеративном теплоутилизаторе.

Список литературы

1. Бараненко А.В., Бухарин Н.Н., Пекарев В.И., Сакун И.А., Тимофеевский Л.С. Холодильные машины. – Санкт-Петербург, 1997.
2. Васильев В.А., Гаврилов А.И., Каменецкий К.К., Соболев Е.В. Параметрическое исследование регенеративного теплообменника.// Вестник МАХ, 2010, №1.

Mathematical model of a regenerative heat exchanger

Sobol E.V. john-stud-spb@mail.ru

St.-Petersburg State University of Refrigeration and Food Engineering

The present paper describes a mathematical model of a regenerative heat exchanger: there are developed dependences for determination of heat transfer coefficient, differential equations to calculate heat and mass transfer. A program module to solve equations and estimate regeneration and accumulation coefficients are shown.

Keywords: heat emission coefficient, heat emission processes, program module.